

Řešení viditelnosti

Pavel Strachota

FJFI ČVUT v Praze

7. dubna 2020

Obsah

- 1 Úvod
- 2 Některé algoritmy pro řešení viditelnosti

Obsah

- 1 Úvod
- 2 Některé algoritmy pro řešení viditelnosti

Úvod

- situace:
 - daná scéna
 - daná specifikace pohledu
- problém - zobrazit pouze části viditelné z daného pohledu
 - určení viditelných čar/povrchů (*visible line/surface determination*)
 - odstranění **ne**viditelných (zakrytých) čar/povrchů (*hidden line/surface elimination*)

Základní rozdělení přístupů k řešení viditelnosti 1/2

Obrazový přístup (*image-precision* algorithms)

- řeší, který z objektů je vidět v každém pixelu obrazu
foreach(*pixel in the image*) {
 1. *determine the object closest to the viewer in the direction of projection;*
 2. *draw the pixel in the appropriate color;*}
- *ray casting* pro řešení viditelnosti (více o něm viz přednáška o raytracingu)
- pracuje na úrovni rozlišení obrazu \implies aliasing, nutnost přepočítání např. při zoomování
- teoretická složitost naivního algoritmu je $O(np)$, kde n = počet objektů, p = počet pixelů

Základní rozdělení přístupů k řešení viditelnosti 2/2

Objektový přístup (*object-precision algorithms*)

- porovnává objekty mezi sebou a eliminuje celé objekty nebo jejich části, které nejsou viditelné

```
foreach(object in the scene) {
```

1. *determine the unobstructed parts of the object, either by other objects or other parts of the same object;*
 2. *draw those parts in the appropriate color;*
- ```
}
```

- teoretická složitost je  $O(n^2)$ , ale i když  $n \ll p$ , tak kroky 1. a 2. jsou obvykle mnohem náročnější než u obrazového přístupu
- pracuje na úrovni datové struktury scény, nemusí se opakovat při přiblížení (zoomu) scény

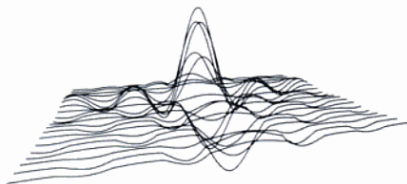
# Obsah

1 Úvod

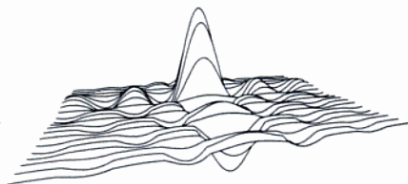
2 Některé algoritmy pro řešení viditelnosti

# Grafy funkcí dvou proměnných

- nakreslit plochu  $y = f(x, z)$
- síť  $m \times n$  funkčních hodnot
- spojíme  $f(x, z)$  lomenou čarou ve směru konstantního  $z$ , resp.  $x$ , pro každé  $x$ , resp.  $z$  - tzv. *drátěná mříž (wireframe)*



(a)

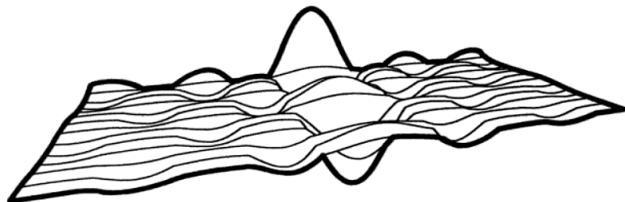


(b)



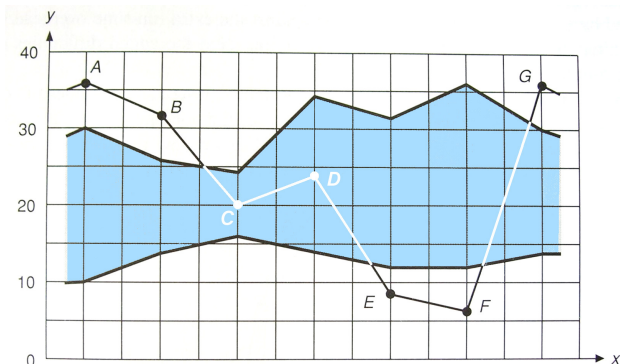
## Algoritmus siluety 1/5

- *horizon line algorithm*
- každá lomená čára v **rovině**  $z = z_i$ , roviny rovnoběžné  
⇒ žádná lomená čára nemůže být zakryta jinou, která leží v rovině (konstantního  $z$ ) dále od pozorovatele  
⇒ algoritmus vykreslování „odpředu dozadu“
- postupně kreslíme lomené čáry, udržujeme siluetu již nakresleného objektu: stačí pole  $YMIN$ ,  $YMAX$  pro min. a max. **promítnutou** hodnotu  $y$  v závislosti na  $x$
- toto pole má konečně mnoho prvků v závislosti na rozlišení obrazu (*image-precision* ⇒ nebezpečí aliasingu)



## Algoritmus siluety 2/5

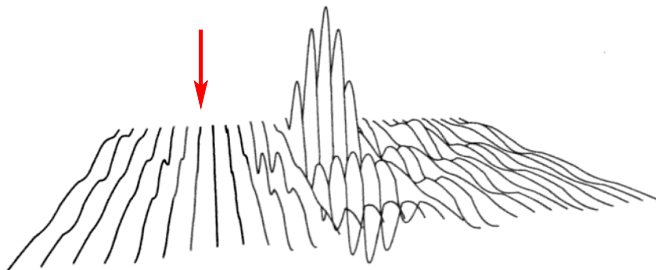
- z další (vzdálenější) lomené čáry nakreslíme jen části, kde promítnutá hodnota  $y$  leží mimo siluetu, a siluetu aktualizujeme



|          |           |    |           |    |           |    |           |    |          |    |          |    |           |
|----------|-----------|----|-----------|----|-----------|----|-----------|----|----------|----|----------|----|-----------|
| New YMAX | 36        | 34 | 32        | 26 | 24        | 29 | 34        | 33 | 32       | 34 | 36       | 33 | 36        |
| New YMIN | 10        | 12 | 14        | 15 | 16        | 15 | 14        | 13 | 8        | 7  | 6        | 13 | 14        |
| Line's Y | <b>36</b> | 34 | <b>32</b> | 26 | <b>20</b> | 22 | <b>24</b> | 16 | <b>8</b> | 7  | <b>6</b> | 21 | <b>36</b> |
| Old YMAX | 30        | 28 | 26        | 25 | 24        | 29 | 34        | 33 | 32       | 34 | 36       | 33 | 30        |
| Old YMIN | 10        | 12 | 14        | 15 | 16        | 15 | 14        | 13 | 12       | 12 | 12       | 13 | 14        |

## Algoritmus siluety 3/5

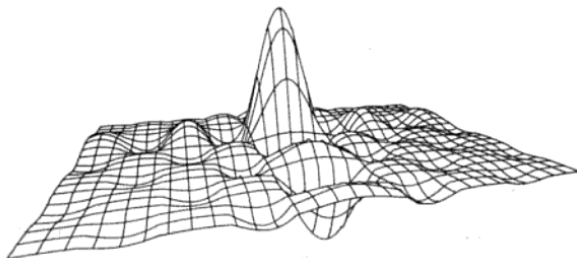
- pro lomené čáry ve směru konstantního  $x$  lze provést to samé
- pro jeden ze směrů (v našem pohledu je to  $x$ ) může být nutné kontrolovat, v jakém směru se roviny vzdalují od pozorovatele (a vždy v tomto pořadí je zpracovávat)



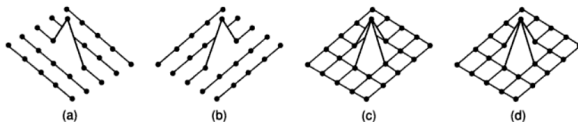
- vlevo od šipky se roviny vzdalují směrem doleva, vpravo od šipky směrem doprava

## Algoritmus siluety 4/5

- chceme-li nakonec síť v obou směrech

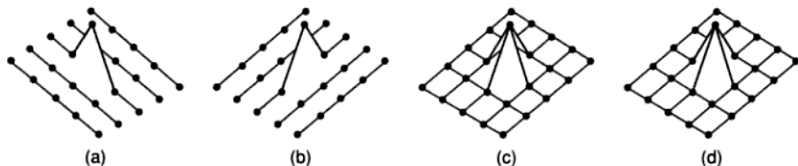


tak nestačí složení obou obrazů - nedá správný výsledek:



(a) Lines of constant  $z$ . (b) Lines of constant  $x$ . (c) Superposition of parts (a) and (b).  
(d) The correct solution.

## Algoritmus siluety 5/5

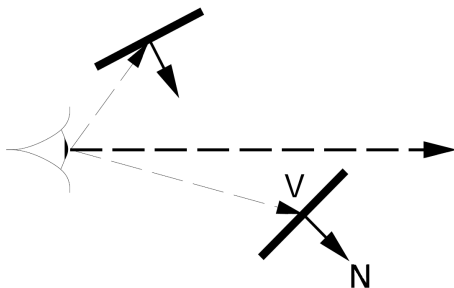


(a) Lines of constant  $z$ . (b) Lines of constant  $x$ . (c) Superposition of parts (a) and (b).  
(d) The correct solution.

- **Řešení:** nakreslit základní lomenou čáru ve směru konstantního  $z$  a pak vždy jednu čáru ve směru konst.  $z$  + úseky všech čar ve směru konst.  $x$ , které se se vejdu mezi dvě poslední čáry ve směru konst.  $z$
- ve všech krocích dodržovat pořadí kreslení směrem od pozorovatele

## Back-face culling 1/2

- „*culling*“ = redukce, odstřel
- **odstranění odvrácených ploch**
- pro objekty složené z mnohostěnů  $\implies$  objem ohraničen polygonálními stěnami
- předpoklad: nedíváme se dovnitř objektu (objektem neprochází přední ořezávací rovina)
- polygon, jehož normála míří od pozorovatele, je odvrácený a je plně zakryt jinými bližšími polygony.



## Back-face culling 2/2

- necht'  $\mathbf{n}$  je vnější normála polygonu,  $\mathbf{v}$  vektor od pozorovatele k polygonu
- polygon je odvrácený, pokud  $\mathbf{n} \cdot \mathbf{v} > 0$  ( $\Leftrightarrow \cos(\angle \mathbf{n}\mathbf{v}) > 0$ )
- algoritmus nelze bez dalšího zpracování použít, pokud:
  - objekt není konvexní
  - objekt obsahuje díry
  - máme více než 1 objekt
- **výhoda** - lineární složitost vzhledem k počtu stěn (vhodným předzpracováním lze dosáhnout sublineární složitosti)
  - ⇒ používá se jako předstupeň k dalším (úplnějším) algoritmům na řešení viditelnosti

# Appelův algoritmus 1/4

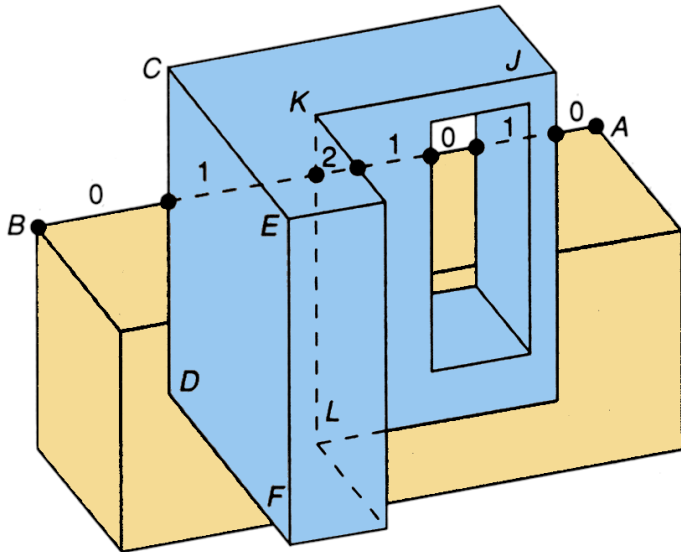
- algoritmus pro **určení viditelných úseček** (nikoliv např. ploch  $\implies$  pouze obrysy)
- obecnější, požaduje, aby úsečky byly součástí polygonálních ploch, ne nutně mnohostěnů

kvantitativní neviditelnost bodu na úsečce:

- pokud úsečka vstupuje za přivrácený polygon, zvýší se kvant. neviditelnost o 1
- pokud úsečka vystupuje zpoza přivráceného polygonu, kvant. neviditelnost se o 1 sníží
- vykreslují se jen části úseček s kvantitativní neviditelností rovnou 0



# Appelův algoritmus 2/4



## Appelův algoritmus 3/4

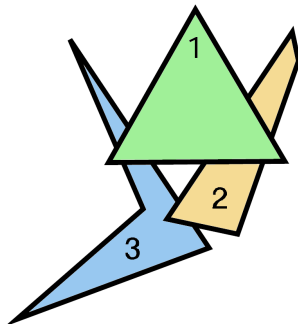
- pokud nemáme navzájem se prostupující polygony, kvantitativní neviditelnost se mění jen při přechodu za tzv. *obrysovou* čáru
- obrysová čára
  - hrana sdílená přivráceným a odvráceným polygonem
  - hrana přivráceného polygonu, který není částí uzavřeného mnohostěnu
- hrana sdílená dvěma přivrácenými polygony nemění neviditelnost
- obrysová čára prochází **před** hranou  $AB$ , jestliže protíná  $\triangle ABE$ , kde  $E$  je místo pohledu (oko - *eyepoint*, resp. střed promítání (COP - *center of projection*) - viz přednáška *Promítání*
- $\implies$  lze využít algoritmy pro průsečík úsečky a polygonu

## Appelův algoritmus 4/4

- nejprve se určí kvantitativní neviditelnost jednoho výchozího bodu (*seed vertex*)
  - výpočet s pomocí „hrubé síly“, kdy se otestují průsečíky všech přivrácených polygonů s paprskem od pozorovatele do výchozího bodu
- poté se využívá „koherence“ hran, tj. vlastnosti, že tvoří polygony, resp. polygonovou síť. Rekurzivně:
  - po všech hranách z výchozího bodu se dojde na jejich konec, kvant. neviditelnost se mění podle dříve popsaného postupu
  - tato nová hodnota kvant. neviditelnosti = výchozí hodnota pro další hrany vycházející z koncových bodů původních hran

## Algoritmus depth-sort 1/6

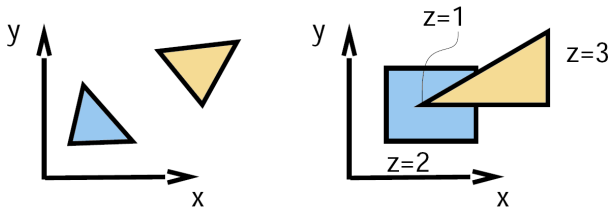
- zjednodušená verze - tzv. *malířův algoritmus*
- kreslení polygonů postupně do tzv. *frame bufferu* - offline grafické paměti (pro barvu pixelů), kterou poté najednou zobrazíme, až když je scéna připravená
- kreslíme polygony od nejvzdálenějšího k nejbližšímu, postupně se překreslují



# Algoritmus depth-sort 2/6

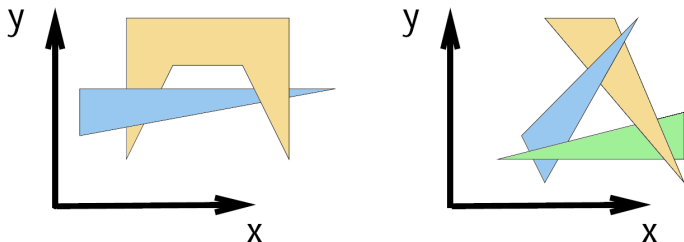
## Zjednodušený postup

- 1 seřadit polygony podle jejich nejmenší (či největší) souřadnice  $z$  (souřadnice  $z$  již v projekci, tj. vzdálenost od pozorovatele (*depth*))
- 2 vyřešit nejednoznačnosti (když se rozsahy  $z$  překrývají  $\implies$  možná nutné dělení polygonů)
- 3 vykreslit polygony v pořadí od nejbližšího
- **malířův algoritmus** neobsahuje bod 2  $\implies$  vyřeší jednoduché případy, kde každý polygon je v rovině  $z = konst.$



# Algoritmus depth-sort 3/6

## Možné případy překryvu



- složitější situace si vynutí další rozhodování
- necht'  $P$  je polygon na konci seříděného seznamu
- necht'  $Q_i$  jsou všechny polygony, jejichž rozsah z se překrývá s rozsahem z polygonu  $P$
- než vykreslíme  $P$ , musíme ověřit, že nezakryje žádný z  $Q_i$

# Algoritmus depth-sort 4/6

## Testování překryvu

- provádíme 5 testů se zvyšující se obtížností mezi  $P$  a  $Q_i$ .  
Úspěch libovolného z nich  $\implies P$  nezakryje  $Q_i$ .
- 1 jsou rozsahy souřadnice  $x$  polygonů  $P$  a  $Q_i$  disjunktní?
- 2 jsou rozsahy souřadnice  $y$  polygonů  $P$  a  $Q_i$  disjunktní?
- 3 leží celý  $P$  za rovinou polygonu  $Q_i$  ve směru pohledu?
- 4 leží celý  $Q_i$  před rovinou polygonu  $P$  ve směru pohledu?
- 5 jsou průměty obou polygonů disjunktní?

# Algoritmus depth-sort 5/6

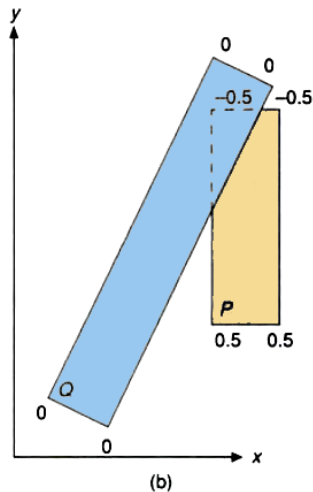
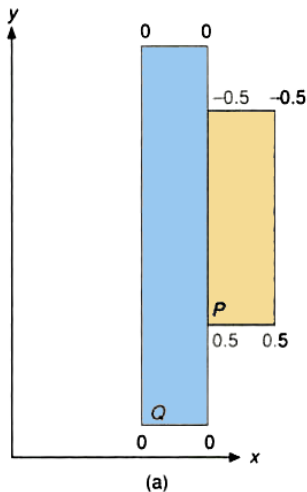
## Výsledky testování překryvu

- pokud nějaký test uspěje, testujeme další  $Q_i$ 
  - pokud test projde  $\forall i$ , nakreslíme  $P$
- pokud testy neuspějí, prohodíme pro účel testování  $P$  a  $Q_i$  a provedeme znovu testy 3,4 (ostatní netřeba opakovat).
  - pokud nyní uspějeme, zařadíme  $Q_i$  na konec seznamu místo  $P$
- pokud ani „prohozený“ test neuspěje, je nutné rozdělit jeden polygon rovinou druhého, původní zahodit, správně seřadit podle (nejmenší) hodnoty  $z$  a zařadit do seznamu
- potřeba ošetřit možnost zacyklení a další detaily



# Algoritmus depth-sort 6/6

Zbytečné dělení polygonů (kdy všech 5 testů selže i bez vzájemného překryvu)



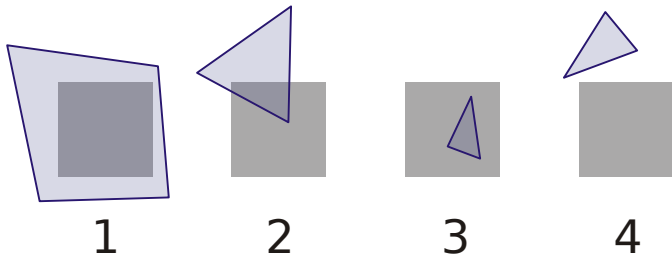
# Warnockův algoritmus 1/6

- obrazový (image-precision) algoritmus typu „rozděl a panuj“ - rekurzivní dělení oblasti
- určuje případy, které lze snadno zvládnout a ihned vykreslit
- v ostatních případech dělí obdélníkovou „oblast zájmu“ (tj. okno v průmětně) na 4 menší a pokračuje rekurzivně v každé z podoblastí

## Warnockův algoritmus 2/6

### 4 případy vztahu polygonu k oblasti zájmu

- 1 obklopující polygon - jeho projekce plně obsahuje oblast zájmu
- 2 polygon protínající oblast zájmu
- 3 polygon plně obsažený v oblasti zájmu
- 4 disjunkt ní polygon zcela mimo oblast zájmu



## Warnockův algoritmus 3/6

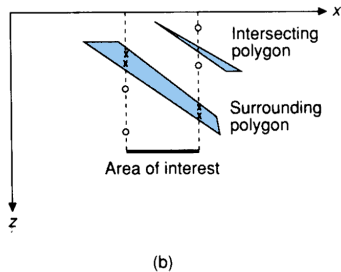
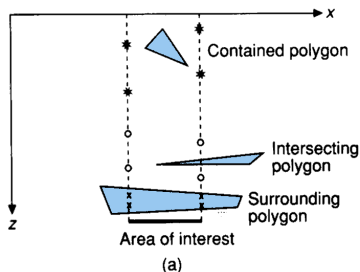
### 4 snadné případy, které lze ošetřit rovnou bez dělení oblasti

- 1 všechny polygony disjunktní  $\implies$  oblast vyplněna barvou pozadí
  - 2 jediný protínající, resp. obsažený polygon  $\implies$  oblast vyplněna barvou pozadí, poté promítnut a vykreslen daný polygon, resp. jeho část
  - 3 jediný obklopující polygon, žádné další  $\implies$  oblast vyplněna barvou daného polygonu
  - 4 několik obklopujících, protínajících a obsažených polygonů, ale jeden z nich je obklopující, který je nad všemi ostatními (nejblíže pozorovateli)  $\implies$  viz 3. bod
- vyšetření 4. případu viz dále

## Warnockův algoritmus 4/6

### Vyšetření 4. „snadného“ případu

- pro každý polygon se určí souřadnice z roviny, ve které je obsažen, ve 4 rozích oblasti zájmu (z průsečíků roviny s hranami příslušného pohled. objemu)
- pokud všechny průsečíky ( $\times$ ) náležící jednomu obklopujícímu polygonu jsou nad průsečíky rovin všech ostatních polygonů (obklopujících, protínajících ( $\circ$ ) a obsažených ( $\star$ )), je rozpoznán případ 4.
- na obr. **b)** není případ 4 rozpoznán  $\implies$  dělení oblasti



# Warnockův algoritmus 5/6

## Zastavení dělení

- dosud pracoval algoritmus jako objektový (object-precision)
- algoritmus je ale obrazový kvůli **kritériu zastavení dělení**:

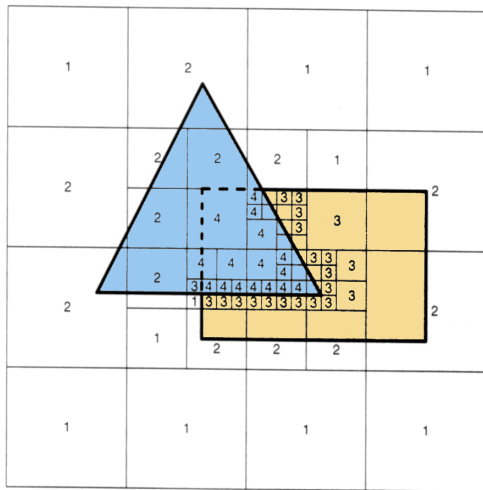
oblast dosáhne velikosti pixelu (a stále nenastanou případy 1-4)  
⇒ vyplníme barvou polygonu, který je nejbližší pozorovateli v daném bodě (středu oblasti) - *ray casting*

- pro odstranění aliasingu možné nadzvorkovat na velikost menší než 1 pixel

# Warnockův algoritmus 6/6

## Příklady dělení

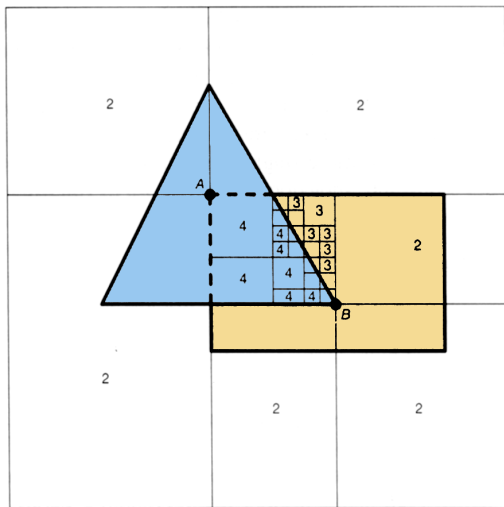
- dělení na čtverce
- neuniformní dělení (první v bodě *A*, druhé v bodě *B*)



# Warnockův algoritmus 6/6

## Příklady dělení

- dělení na čtverce
- neuniformní dělení (první v bodě *A*, druhé v bodě *B*)



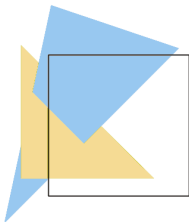


## z-buffer 1/3

- jinak také *depth-buffer*
  - obrazový (image-precision) algoritmus
  - využívá frame buffer a vedle něj *depth-buffer* (paměť hloubky) stejné velikosti
  - jednotlivé objekty (ne nutně jen polygony) se v libovolném pořadí vykreslují do průmětny (frame bufferu) a současně se aktualizuje paměť hloubky
- paměť hloubky na začátku nastavena na  $+\infty$ , průmětna na barvu pozadí
  - Každý pixel objektu se zakreslí na průmětnu jen tehdy, je-li jeho souřadnice  $z$  (hloubka, vzdálenost od pozorovatele) menší než hodnota uložená v paměti hloubky na dané pozici. V tom případě se paměť hloubky aktualizuje na tuto novou hodnotu.

# z-buffer 2/3

## Schéma vykreslení dvou polygonů



|   |   |   |   |   |   |   |   |   |
|---|---|---|---|---|---|---|---|---|
| ∞ | ∞ | ∞ | ∞ | ∞ | ∞ | ∞ | ∞ | ∞ |
| ∞ | ∞ | ∞ | ∞ | ∞ | ∞ | ∞ | ∞ | ∞ |
| ∞ | ∞ | ∞ | ∞ | ∞ | ∞ | ∞ | ∞ | ∞ |
| ∞ | ∞ | ∞ | ∞ | ∞ | ∞ | ∞ | ∞ | ∞ |
| ∞ | ∞ | ∞ | ∞ | ∞ | ∞ | ∞ | ∞ | ∞ |
| ∞ | ∞ | ∞ | ∞ | ∞ | ∞ | ∞ | ∞ | ∞ |
| ∞ | ∞ | ∞ | ∞ | ∞ | ∞ | ∞ | ∞ | ∞ |
| ∞ | ∞ | ∞ | ∞ | ∞ | ∞ | ∞ | ∞ | ∞ |

+

|   |   |   |   |   |   |   |   |
|---|---|---|---|---|---|---|---|
| 5 | 5 | 5 | 5 | 5 | 5 | 5 | 5 |
| 5 | 5 | 5 | 5 | 5 | 5 | 5 |   |
| 5 | 5 | 5 | 5 | 5 | 5 |   |   |
| 5 | 5 | 5 | 5 |   |   |   |   |
| 5 | 5 | 5 |   |   |   |   |   |
| 5 | 5 |   |   |   |   |   |   |
| 5 |   |   |   |   |   |   |   |
| 5 |   |   |   |   |   |   |   |

=

|   |   |   |   |   |   |   |   |
|---|---|---|---|---|---|---|---|
| 5 | 5 | 5 | 5 | 5 | 5 | 5 | ∞ |
| 5 | 5 | 5 | 5 | 5 | 5 | 5 | ∞ |
| 5 | 5 | 5 | 5 | 5 | 5 | ∞ | ∞ |
| 5 | 5 | 5 | 5 | ∞ | ∞ | ∞ | ∞ |
| 5 | 5 | 5 | ∞ | ∞ | ∞ | ∞ | ∞ |
| 5 | 5 | ∞ | ∞ | ∞ | ∞ | ∞ | ∞ |
| 5 | ∞ | ∞ | ∞ | ∞ | ∞ | ∞ | ∞ |
| ∞ | ∞ | ∞ | ∞ | ∞ | ∞ | ∞ | ∞ |

|   |   |   |   |   |   |   |   |
|---|---|---|---|---|---|---|---|
| 5 | 5 | 5 | 5 | 5 | 5 | 5 | ∞ |
| 5 | 5 | 5 | 5 | 5 | 5 | ∞ | ∞ |
| 5 | 5 | 5 | 5 | 5 | ∞ | ∞ | ∞ |
| 5 | 5 | 5 | ∞ | ∞ | ∞ | ∞ | ∞ |
| 5 | 5 | ∞ | ∞ | ∞ | ∞ | ∞ | ∞ |
| 5 | ∞ | ∞ | ∞ | ∞ | ∞ | ∞ | ∞ |
| ∞ | ∞ | ∞ | ∞ | ∞ | ∞ | ∞ | ∞ |
| ∞ | ∞ | ∞ | ∞ | ∞ | ∞ | ∞ | ∞ |

+

|   |   |   |   |   |   |  |  |
|---|---|---|---|---|---|--|--|
| 7 |   |   |   |   |   |  |  |
| 6 | 7 |   |   |   |   |  |  |
| 5 | 6 | 7 |   |   |   |  |  |
| 4 | 5 | 6 | 7 |   |   |  |  |
| 3 | 4 | 5 | 6 | 7 |   |  |  |
| 2 | 3 | 4 | 5 | 6 | 7 |  |  |

=

|   |   |   |   |   |   |   |   |
|---|---|---|---|---|---|---|---|
| 5 | 5 | 5 | 5 | 5 | 5 | 5 | ∞ |
| 5 | 5 | 5 | 5 | 5 | 5 | ∞ | ∞ |
| 5 | 5 | 5 | 5 | 5 | ∞ | ∞ | ∞ |
| 5 | 5 | 5 | 7 | ∞ | ∞ | ∞ | ∞ |
| 4 | 5 | 5 | 7 | ∞ | ∞ | ∞ | ∞ |
| 3 | 4 | 5 | 6 | 7 | ∞ | ∞ | ∞ |
| 2 | 3 | 4 | 5 | 6 | 7 | ∞ | ∞ |
| ∞ | ∞ | ∞ | ∞ | ∞ | ∞ | ∞ | ∞ |

## z-buffer 2/3

### Vlastnosti

- rychlý, jednoduchý, snadný na implementaci v HW
- obecný (není omezen jen na polygony)

### Aliasing způsobený konečnou přesností z-bufferu

- z-buffer v HW je obvykle 32 bit integer
- pro hloubku se používá pseudo-vzdálenost (viz *Promítání*)

$$PD(z) = \frac{z(f+n) - 2fn}{z(f-n)},$$




kde  $z = n$  a  $z = f$  jsou přední a zadní ořezávací roviny.

- pro  $f \gg n$  a velká  $z$  je  $PD(z)$  blízko 1 ( $PD : [n, f] \mapsto [-1, 1]$ )
- konečná přesnost  $\implies$  různě (ale hodně) vzdálené objekty mohou získat stejnou hodnotu hloubky  $\implies$  prolnutí vzdálených objektů

## Další algoritmy

- algoritmy pro BSP (binary space partitioning) stromy (Schumacker)
  - efektivní, když se hýbe kamera, ale nemění se scéna
- algoritmy pro octree
  - uspořádání oktantů odzadu dopředu
- algoritmy pro řešení viditelnosti zakřivených povrchů
  - dělení na polygonální síť + algoritmus pro polygony
  - přímé zpracování zakřivených povrchů (Weiss, Woon, Mahl, Levin, Sarraga)
  - algoritmy pro bikubické povrchy (Blinn, Whitted)
- ...

# Literatura

-  J. F. Hughes, A. van Dam, M. McGuire, D. F. Sklar, J. D. Foley, S. K. Feiner, K. Akeley: *Computer Graphics: Principles and Practice (3rd ed.)*, Addison Wesley, 2014.
-  M.E. Newel et al.: *A Solution to the Hidden Surface Problem*. Proceedings of the ACM National Conference 1972, 443450. (*algorithmus depth-sort*)
-  A. Appel A.: *The notion of quantitative invisibility and the machine rendering of solids*. Proceedings of the 1967 22nd national conference, 1967, 387393.